

Fig. 1-A

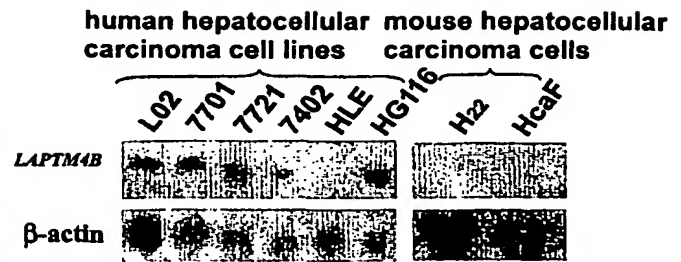


Fig. 1-B

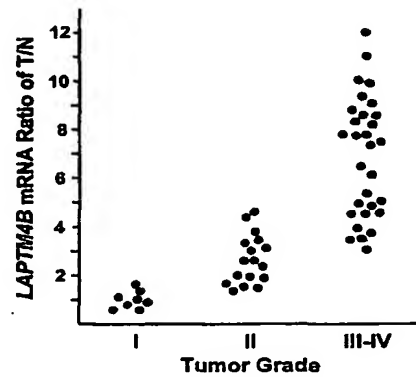


Fig. 1-C

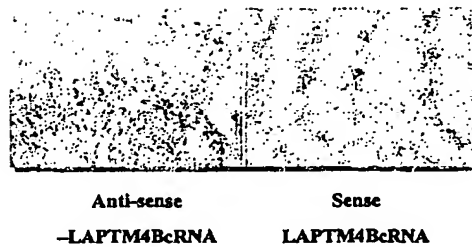


Fig. 2-A

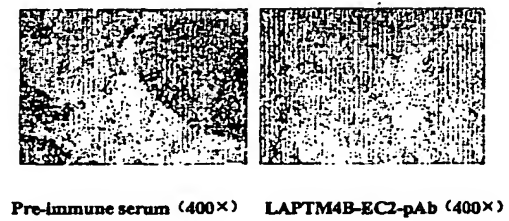


Fig. 2-B

Fig. 2-C

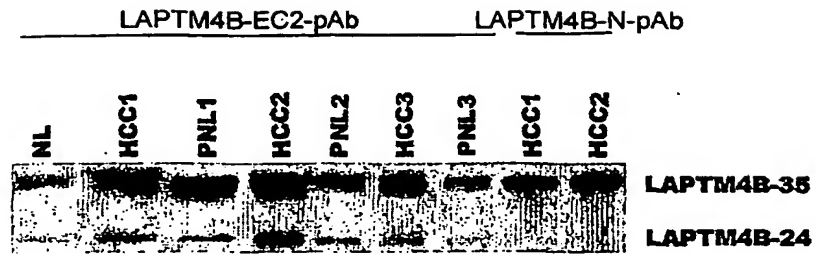


Fig. 3

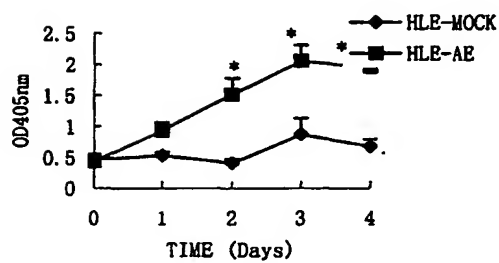


Fig. 4

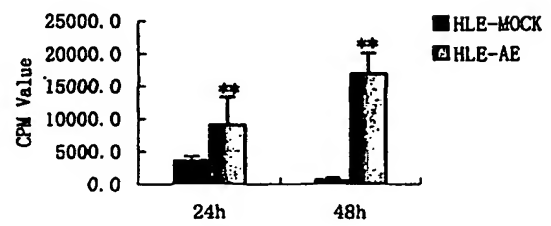


Fig. 5



Fig. 6

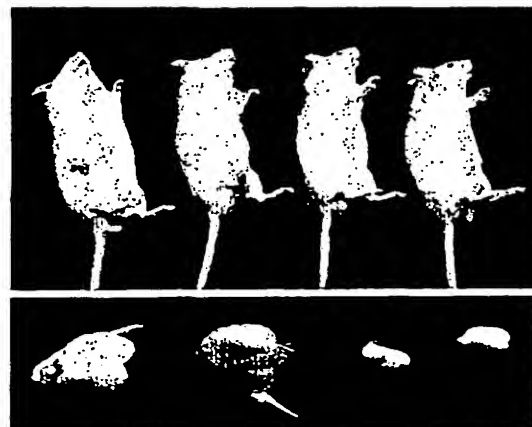


Fig. 7

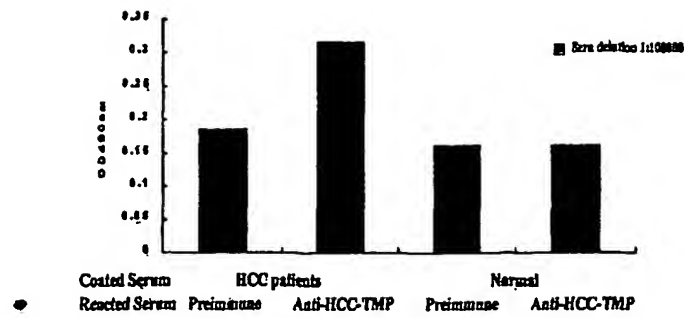


Fig. 8

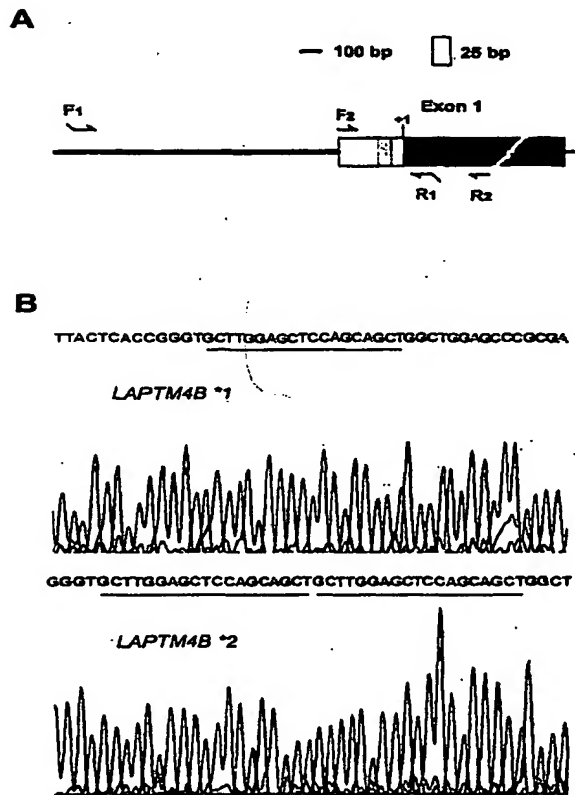


Fig. 9

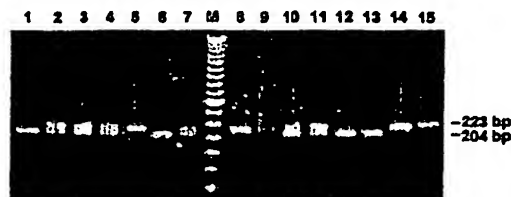
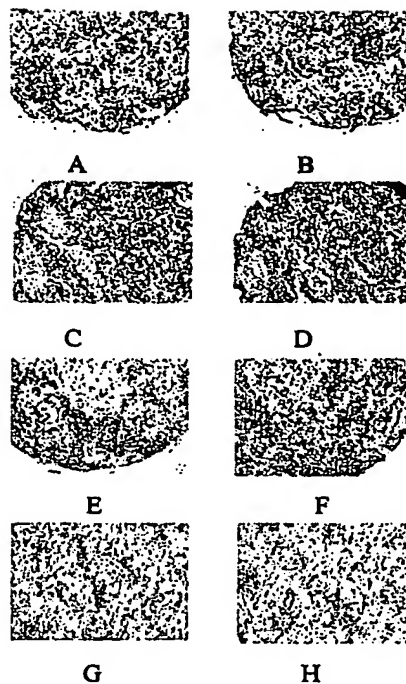
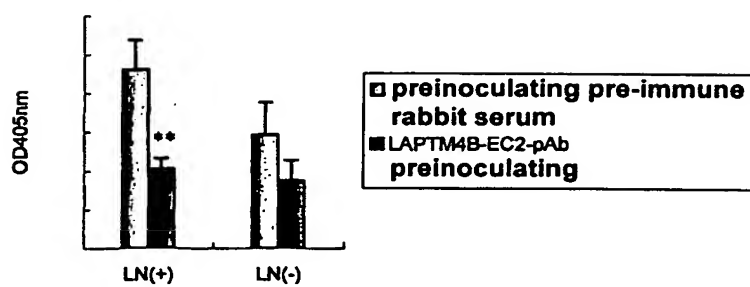


Fig. 10

**Fig. 11**

**P < 0.01 LAPTM4B-EC2-pAb vs. pre-immune rabbit serum

Fig. 12



Fig. 13-A

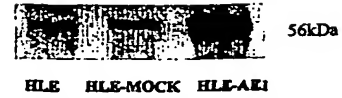


Fig. 13-B

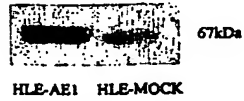


Fig. 13-C

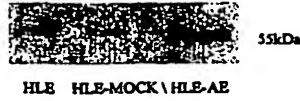


Fig. 13-D

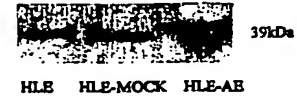


Fig. 13-E

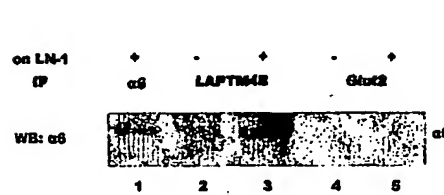


Fig. 14-A

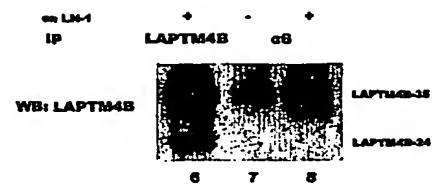


Fig. 14-B

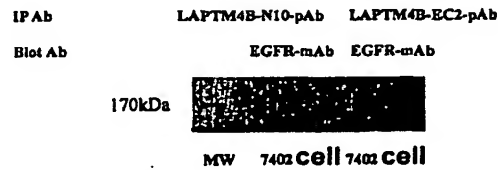


Fig. 14-C

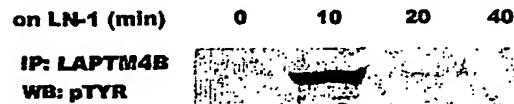


Fig. 15-A

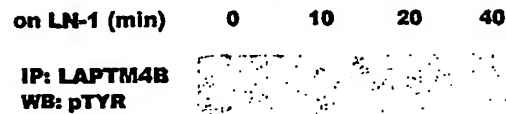


Fig. 15-B

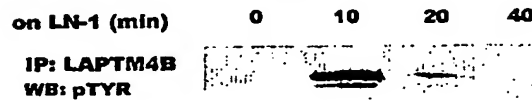


Fig. 15-C

6/6

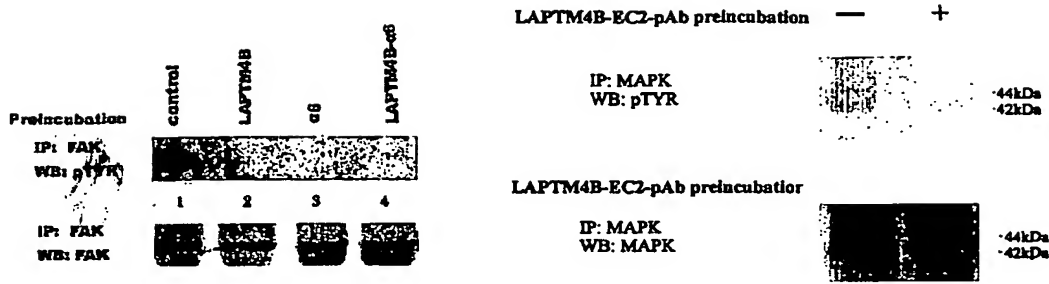


Fig. 16-A

Fig. 16-B

a

-1379 ggggggaaca gcaagtgtgtt acggtgagcg aaagctcaga tccaggttga agagtgtgca gctgcaagat ttaatagagt gaaacagct
 -1289 ccoatacagt ggggggggac ocaaaagggggt ttgcccactc ccggttggaa tgcctggggt ttatatacca atcattgtcc ctcccccgt
 -1199 gctctcagat gatagatgat ttgactatct ctttaactct tgccttttgc ttaattgtgt ttttagtgag cccctttttac taactgattg
 -1109 gtcaggtgtg agctgagtta caagcccat gtttaaggtt ggttgggtcc cccctcccca ggtaggttta ggaattotta gtcgcccag
 -1019 gaaatccgt actctgtct ctcactggga ttacagggtt gagccaccca gcccagccaa ttttgggtatt tttgttagag ccaggggttc
 -929 gccatgttgc ccaggtgtgtt actgaatctt tagagctgca ctcactgatta aaaaagctgt gccagggctt gctgctcccg cctgtaatcc
 -839 cagcactttt ggggggtgag ggggggggtt caaggggtca gaagatagag aacatccctg ctaaacaggtt gaaacccctt ctctactgaa
 -749 natacaacaa attagccngy cgtggtgtgc ggcgcctgta gtccacgata ctagggtgga tgaggtcagga gaattggcgtt aacccgggag
 -659 gtggagcttg cagtgcagcg agatgcacac actgcactcc agcctgggtt aagagagag agctgtgtct aaaaaaana aaaaaaana
 -569 aaaaaaag ctacgggaag cccagggggt atgtcttga cccacatctt atttctgtgt aaaaagattac taacacagta attgagctgt
 -479 gaggcggaga caaattgtct togtgtgtgt ttcnaagtao tgcnaattgao tggnaatgca ccgggcagtt ttccttctct togtgcaaga
 -389 taagagtgat aggtgctgta togtattact gaaagataga agtgcagagc ggcgggtgtg ggtgggtcac gactgtanta ccagcacttt
 -299 gggaggttga ggggggttga tctttgagc tgggggttca caagacagcc tgacaaacat ggtgaaaccc cgtctctact aaaaatacaa
 -209 caaattagac ggtgtgtgtt gaaaggggtt gtaatccag ctactgtgtt gtttgggag gagaatgctt tgacccgggt agggggaggt
 -119 tgcagtgaga cggatagag ccattgcaat ccagcctgtt gacacagaga gagaactgtt ctcaaaaaa aaaaaaag aagtagaag
 -29 gaagaaata gaaaggaact agactaaag AATCTGACC CTGGAATGGA GTTACAGAA CGGCCAGATG AAAGAAGGAA GCGCCGAGCC
 62 TCACTCAGG GCGACTAGG GCACTGCGG AGGCTGCGG CTGCTGCGG GTGCTTGGAG CTCGACAGC TGGCTGGAGC
 152 CCGCCTGAC CTCACGACT CGGTCACAT GGCCTGCTC GCGCCGCTC CTCCCGCTC CCGCCGCTC AGCGCTGCC TTCGAGGGA

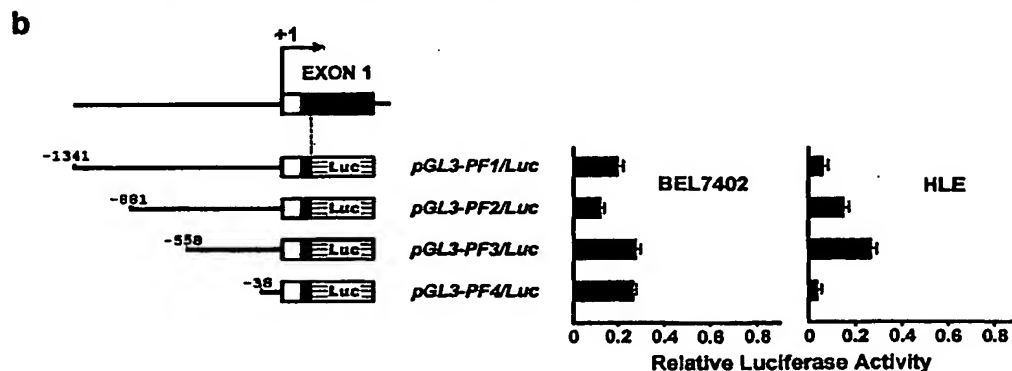


Fig. 17